

ПАРНАЯ КОРРЕЛЯЦИЯ ЧАСТИЦ В СИЛЬНО НЕИДЕАЛЬНЫХ СИСТЕМАХ

*O. C. Ваулина**

*Объединенный институт высоких температур Российской академии наук
127412, Москва, Россия*

Поступила в редакцию 26 мая 2011 г.

Предлагается новая полуэмпирическая модель для описания пространственной корреляции между взаимодействующими частицами в неидеальных системах. Разработанная модель описывает основные особенности поведения парной корреляционной функции для кристаллических структур, а также может использоваться для качественного и количественного описания пространственной корреляции частиц в сильно неидеальных жидкостных системах. Представлено сравнение предлагаемой модели с результатами моделирования парной корреляционной функции.

1. ВВЕДЕНИЕ

Равновесные свойства неидеальных систем полностью описываются набором функций плотности вероятности $g_s(\mathbf{r}_1, \mathbf{r}_2, \dots, \mathbf{r}_s)$ нахождения частиц в точках $\mathbf{r}_1, \mathbf{r}_2, \dots, \mathbf{r}_s$. В случае изотропного парного взаимодействия физические свойства жидкости, такие как давление, плотность энергии и сжимаемость, определяются парной корреляционной функцией $g(r) = g_2(|\mathbf{r}_1 - \mathbf{r}_2|)$ [1–3], которая, в свою очередь, зависит от типа потенциала взаимодействия между частицами среды и ее температуры. Информация о парной функции $g(r)$ необходима для расчета различных кинетических коэффициентов (например, коэффициентов вязкости или теплопроводности) по формулам Грина–Кубо, а также может быть полезна для прогнозирования различных фазовых переходов в неидеальных системах. В общем случае определение формы $g(r)$ требует расчетов пространственных корреляционных функций более высоких порядков (g_s при $s > 2$) или применения каких-либо аппроксимаций для таких функций. Так, например, для решения интегральных уравнений в кинетике взаимодействующих частиц для учета трехчастичной корреляционной функции ($s = 3$) наиболее часто используется суперпозиционное приближение Кирквуда [1, 4]:

$$g_3(\mathbf{r}_1, \mathbf{r}_2, \mathbf{r}_3) \approx g_3^{sp}(\mathbf{r}_1, \mathbf{r}_2, \mathbf{r}_3) = g(\mathbf{r}_1 - \mathbf{r}_2)g(\mathbf{r}_2 - \mathbf{r}_3)g(\mathbf{r}_3 - \mathbf{r}_1).$$

Численное моделирование показывает, что для широкого круга изотропных парных потенциалов пространственная корреляция частиц в неидеальных системах определяется отношением второй производной U'' потенциала $U(r)$ в точке среднего межчастичного расстояния $r = r_p$ к температуре частиц T , если имеет место эмпирическое условие [5–8]:

$$2\pi > |U''r_p/U'|, \quad (1)$$

где U' — первая производная $U(r)$ в точке $r = r_p$. При этом пространственная корреляция частиц, а соответственно функция $g(r)$, не зависит от трения и определяется величиной эффективного параметра неидеальности $\Gamma^* = br_p^2U''(r_p)/2T$, в диапазоне от $\Gamma^* \sim 15\text{--}20$ до точки кристаллизации системы Γ_c^* , т. е. точки формирования «совершенного» кристалла, где отсутствует миграция частиц, а их коэффициент диффузии $D = 0$. Здесь $b = 1$ для трехмерных систем, $b = 1.5$ для двумерного случая, $\Gamma_c^* = \Gamma_{2d}^* \approx 154 \pm 4$ [7] для двумерных систем, формирующихся в процессе своей кристаллизации примитивную гексагональную решетку, и $\Gamma_c^* = \Gamma_{3d}^* \approx 102 \pm 3$ [8] для трехмерных систем, кристаллизующихся в объемноцентрированную кубическую (ОЦК) структуру.

На настоящий момент существуют различные аппроксимации для парных корреляционных функ-

*E-mail: olga.vaulina@bk.ru

ций, основанные на подгонке результатов численного моделирования различными параметрическими функциями [9]. Однако такие аппроксимации не годятся для анализа парной корреляции частиц в системах с произвольной формой парного межчастичного взаимодействия. В данной работе предлагается простая полуэмпирическая модель для описания пространственной корреляции взаимодействующих частиц в сильно неидеальных системах с широким кругом парных потенциалов. Особое внимание уделяется двумерным системам. Одной из причин данного обстоятельства является возможность (простой) непосредственной проверки изложенных результатов, например, в экспериментах с монослойными пылевыми структурами в плазме ВЧ-разряда [9]. Другая причина связана с преимущественно двумерным характером используемых средств диагностики.

2. МОДЕЛЬ ДЛЯ РЕКОНСТРУКЦИИ ПАРНОЙ КОРРЕЛЯЦИОННОЙ ФУНКЦИИ

Простая модель для реконструкции парной корреляционной функции $g(r)$ в сильно неидеальной системе может опираться на зависимость формы парной корреляционной функции $g(r)$ от величины среднеквадратичного отклонения отдельных частиц (за счет тепловых флуктуаций) в узлах кристаллической решетки:

$$g(r) \approx \frac{r_p^m}{2^{m-1}\pi r^{m-1}} \sum_{i=1}^{\infty} \frac{1}{\sqrt{2\pi}\sigma_i} \times \exp \left[-\frac{(r-a_i)^2}{2\sigma_i^2} \right], \quad (2)$$

где $m = 2, 3$ — размерность системы, a_i — наиболее вероятное положение i -й частицы относительно «пробной» в кристаллической решетке (совпадает с расположением узлов анализируемой решетки), $\sigma_i^2 = (a_i/a_1)^{m-1}\sigma_1^2$, а σ_1^2 — среднеквадратичное отклонение частицы от ее наиболее вероятного положения относительно своих ближайших соседей. Иллюстрация положения частиц в решетке гексагонального типа представлена на рис. 1.

При таком подходе интегрирование функции $g(r)$ позволяет легко оценить количество N_c частиц, находящихся от пробной частицы на расстоянии $r \leq R_c$:

$$N_c = 2^{m-1}\pi n \int_0^{R_c} g(r)r^{m-1} dr, \quad (3)$$

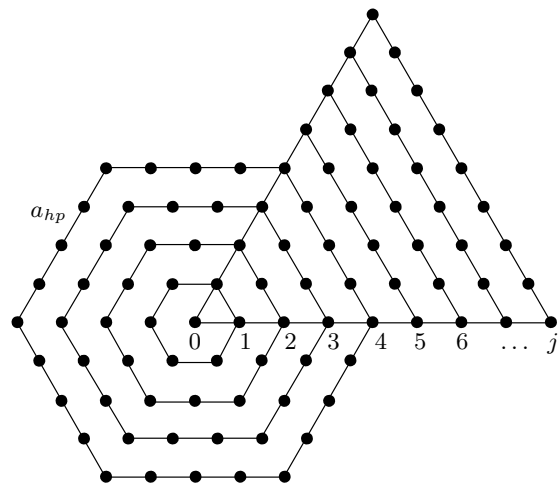


Рис. 1. Иллюстрация расположения частиц в гексагональной кристаллической решетке с шагом (наиболее вероятным расстоянием) $a_{hp} \equiv a_1 = r_p(2/\sqrt{3})^{1/2}$

а максимальная вероятность g_{nb} положения ближайших соседей будет определяться как

$$g_{nb} \approx \frac{N_{nb}^0 r_p^m}{a_1^{m-1} \sigma_1 2^{m-1/2} \pi^{3/2}}, \quad (4)$$

где $n = r_p^{-m}$, а N_{nb}^0 — число ближайших соседей (для двумерной гексагональной решетки $a_1/r_p \approx 1.075$, $N_{nb}^0 = 6$, для ОЦК-решетки $a_1/r_p \approx 1.09$, $N_{nb}^0 = 8$).

3. ЧИСЛЕННОЕ МОДЕЛИРОВАНИЕ

Для проверки предлагаемой модели были выполнены расчеты парных корреляционных функций $g(r)$ для различных потенциалов, подчиняющихся условию (1), в широком диапазоне параметров неидеальности (величина Γ^* изменялась от 10 до 375) рассматриваемых систем. Техника моделирования подробно описана в работах [5–8].

Расчеты проводились для однородной трехмерной системы и для квазидвумерной системы, моделирующей протяженный пылевой слой. В первом случае при моделировании протяженной однородной системы внешние силы отсутствовали и задавались периодические граничные условия по всем трем направлениям x , y и z . Число N_p независимых частиц в центральной ячейке варьировалось от 250 до 686, соответственно потенциал межчастичного взаимодействия обрезался на расстоянии $L_{cut} \approx 4r_p \div 8r_p$.

Во втором случае, расчеты проводились для протяженного монослоя при периодических граничных

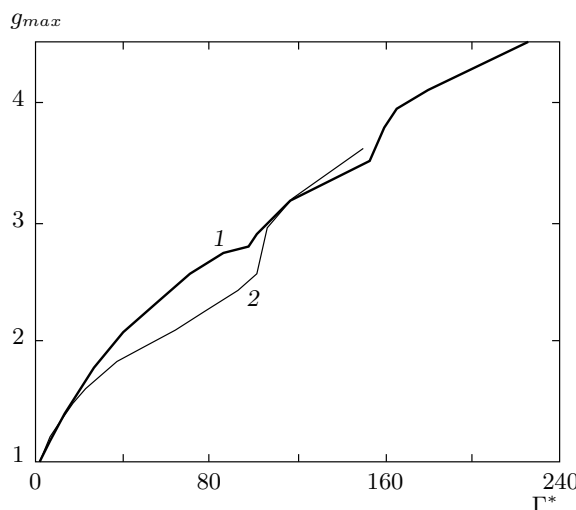


Рис. 2. Максимум g_{max} парной корреляционной функции в зависимости от Γ^* для двумерных (1) и трехмерных (2) систем

условиях в двух выбранных направлениях x и y , а в направлении оси z учитывалось действие силы тяжести Mg , скомпенсированное линейным электрическим полем. Число независимых частиц в счетной ячейке N_p варьировалось от 256 до 1024, в зависимости от числа частиц длина обрезания потенциала L_{cut} менялась от $5r_p$ до $25r_p$. Величина градиента β электрического поля E_z , ограничивающего пылевой слой в направлении оси z , варьировалась от 10^{-2} В/см² до 100 В/см² и для рассматриваемых случаев моделирования монослоя частиц находилась в согласии с критерием, предложенным в работах [10, 11]:

$$|eZ\beta| < 2 \sum_{i=1}^{N_p} U'(r_i)/r_i, \quad (5)$$

где eZ — заряд частиц. Какой-либо ощутимой зависимости динамики макрочастиц от величины градиента β поля и количества независимых частиц N_p , принятых для расчетов, в процессе моделирования обнаружено не было.

Для всех анализируемых случаев форма найденных парных функций $g(r)$ определялась параметром Γ^* для систем с $\Gamma^* > 15$ и не зависела от трения. Зависимости величины первого максимума g_{max} парной корреляционной функции от эффективного параметра неидеальности Γ^* для двумерных и трехмерных систем, полученные при численном моделировании задачи, показаны на рис. 2.

4. СРАВНЕНИЕ АНАЛИТИЧЕСКИХ И ЧИСЛЕННЫХ РЕЗУЛЬТАТОВ

Сравнение предлагаемой модели с результатами численного моделирования проиллюстрировано на рис. 3–5. Так, на рис. 3 и 4 проиллюстрирована процедура суммирования вероятностей расположения частиц соответственно в двумерной и трехмерной системах. Сравнение численных результатов и аналитических данных (полученных в результате суммирования частиц первых четырех «оболочек» по формуле (2), количество учитываемых соседних частиц $N_{nb} = 60$; см. рис. 1, $j = 1, 2, 3, 4$) для двумерных систем показано на рис. 5 для различных параметров Γ^* . Полученные результаты демонстрируют хорошее согласие между численными и аналитическими данными. Следует также отметить, что расчеты в рамках предлагаемой модели (2) хорошо описывают основные критерии кристаллизации двумерных систем. Так, для параметра $\Gamma^* \approx 165$ вблизи точки плавления двумерной системы (см. рис. 5а) величина первого пика парной корреляционной функции $g_{max} \approx 4$ (критерий Хансена) [7, 12], а относительная величина корня среднеквадратичного отклонения $\langle \delta r^2 \rangle$ частиц от их равновесного положения относительно центра масс системы на линии плавления $\delta_L = \langle \delta r^2 \rangle^{1/2}/r_p \approx \sqrt{2}\sigma_1/r_p \approx 0.13$ [12] (критерий Линдемана). Также можно заметить расщепление второго пика парной корреляционной функции, наличие которого является феноменологическим критерием для кристаллического состояния двумерной системы [13].

Анализ полученных результатов позволяет предположить, что для сильно коррелированных двумерных систем ($\Gamma^* > 20$) величина первого максимума g_{max} парной корреляционной функции равна

$$g_{max} \approx g_{nb} = \frac{6r_p^2}{a_1\sigma_1(2\pi)^{3/2}} = \frac{6}{1.075\Delta(2\pi)^{3/2}}, \quad (6)$$

где $\Delta \equiv \sigma_1/r_p$. Величина g_{nb} (6), характеризующая максимальную вероятность расположения ближайших соседей в двумерных системах, для значения σ_1 , найденного наилучшей подгонкой формы парной корреляционной функции кривой (2), показана на рис. 6. (Отклонение между значениями g_{nb} и g_{max} не превышало 5 % для параметров $\Gamma^* > 20$.) На том же рисунке (рис. 6) показана кривая $g_{max}(\Gamma^*)$, полученная по формуле (6) в предположении, что величина $\Delta \equiv \sigma_1/r_p \approx \delta_L \Gamma_c^*/\sqrt{2}\Gamma^*$, где δ_L — параметр Линдемана на линии плавления гексагональной решетки. Отметим, что для всех трех случаев при $\Gamma^* > 20$ полученные значения g_{max} находятся в пределах диа-

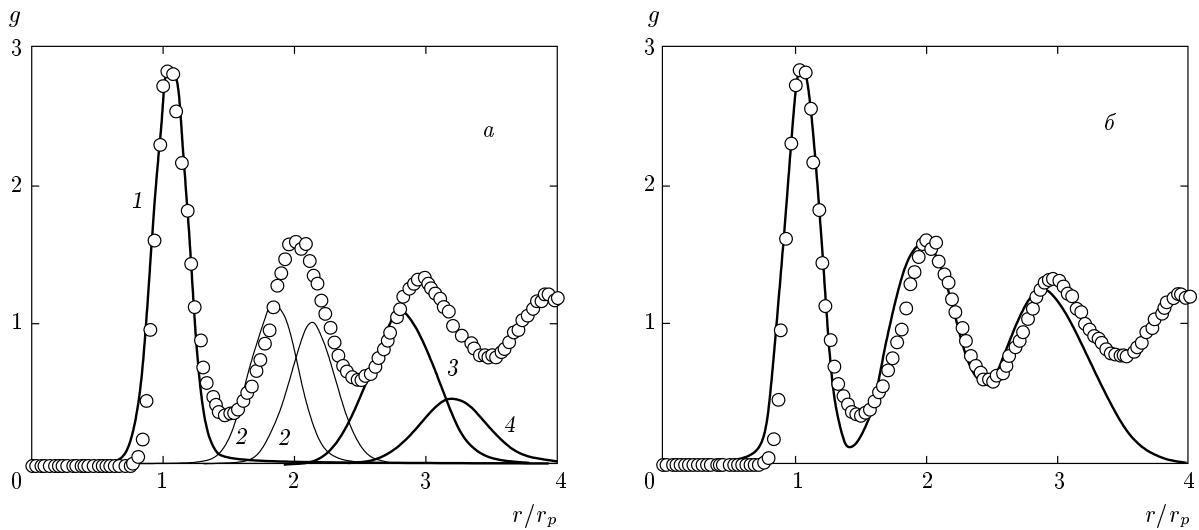


Рис. 3. Иллюстрация реконструкции функции $g(r)$ для двумерной системы при $\Gamma^* \approx 102$ и $\Delta = \sigma_1/r_p \approx 0.124$. Кружки — функция $g(r)$, полученная в численных экспериментах. Линии на рис. *a* — вероятности обнаружения частиц, расположенных в трех «оболочках», $j = 1$ (1), 2 (2), 3 (3), линия на рис. *б* — функция $g(r)$, восстановленная по формуле (2), как сумма гармоник для трех «оболочек», количество учитываемых соседних частиц: $N_{nb} = 36$ (см. рис. 1)

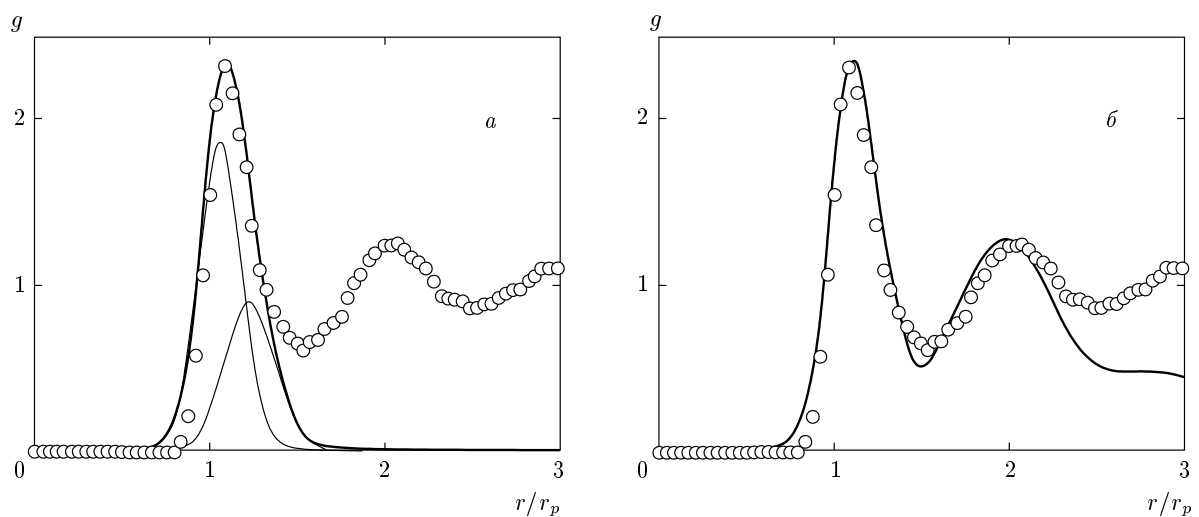


Рис. 4. Функция $g(r)$ для трехмерной системы при $\Gamma^* \approx 87$ и $\Delta = \sigma_1/r_p \approx 0.122$. Кружки — результаты численных экспериментов, сплошные кривые — аналитические оценки по формуле (2). На рис. *a* тонкие линии — вероятности расположения частиц в первой «оболочке», жирная линия — сумма вероятностей расположения частиц для первой «оболочки», $N_{nb} = 14$. На рис. *б* линия — сумма вероятностей расположения частиц для трех «оболочек», $N_{nb} = 82$

пазона $\pm 7\%$, отмеченного в виде доверительного интервала на рис. 6. Отметим также, что уравнение (6) описывает простую связь между двумя известными критериями плавления: критерием Хансена и критерием Линдемана.

В случае трехмерных сильно неидеальных струк-

тур (с $\Gamma^* > 20$), формирующих в процессе своей кристаллизации ОЦК-решетку, величина первого максимума g_{max} парной функции определяется вероятностью нахождения частиц на двух различных расстояниях от пробной для первой «оболочки», см. рис. 4*a*. (Данная «оболочка» представляет собой усе-

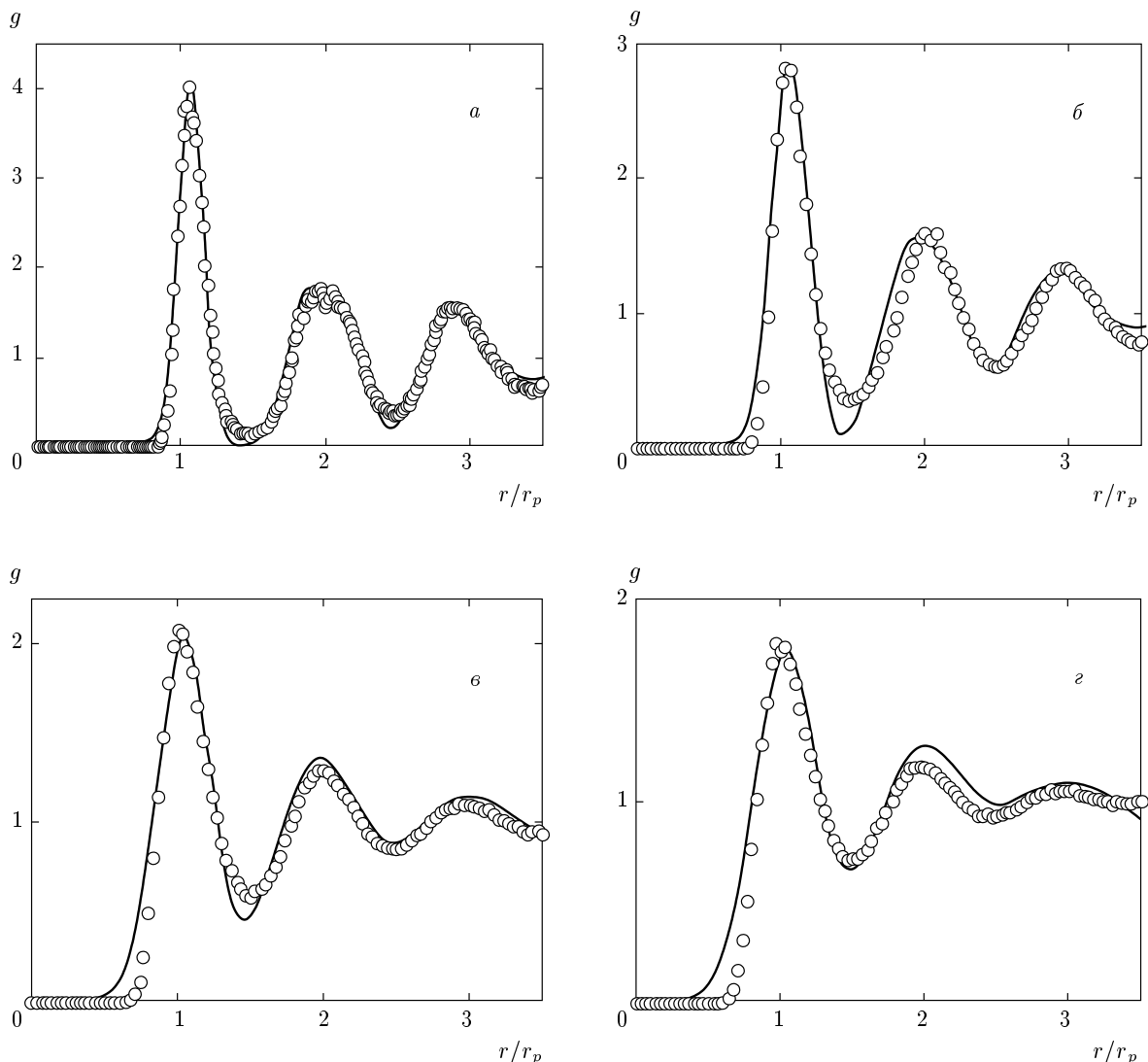


Рис. 5. Функция $g(r)$ для двумерной системы при различных параметрах Γ^* и $\Delta = \sigma_1/r_p$ ($N_{nb} = 60$): *a* — $\Gamma^* \approx 165$, $\Delta \approx 0.088$; *б* — $\Gamma^* \approx 102$, $\Delta \approx 0.124$; *в* — $\Gamma^* \approx 40$, $\Delta \approx 0.18$; *г* — $\Gamma^* \approx 26$, $\Delta \approx 0.21$. Кружки — функция $g(r)$, полученная в численных экспериментах, сплошные кривые — аналитические оценки (2)

ченный октаэдр, по форме подобный ячейке Вигнера–Зейца, на поверхности которого располагаются $N_{nb} = 14$ частиц, включая ближайших соседей $N_{nb}^0 = 8$.) Соответственно, величина первого максимума g_{max} может быть записана в виде

$$g_{max} \approx g_{nb} \approx \frac{r_p^3}{a_1^2 \sigma_1^{25/2} \pi^{3/2}} \times \\ \times \left(8 + 6 \frac{a_1^2 \sigma_1}{a_2^2 \sigma_2} \exp \left[-\frac{(a_1 - a_2)^2}{2\sigma_2^2} \right] \right), \quad (7)$$

где $a_2/a_1 \approx 1.26/1.09 \approx 1.155$.

Таким образом, при наличии информации о типе кристаллической решетки, среднем межчастичном

расстоянии и величине σ_1 (или g_{max}) определение парной корреляционной функции по формуле (2) не представляет особых сложностей и не требует трудоемких и длительных компьютерных вычислений. В заключение отметим, что с уменьшением параметра неидеальности ($\Gamma^* < 20$) вероятность нахождения двух частиц на расстояниях, меньших радиуса Вигнера–Зейца, приблизительно равного $0.6r_p$, существенно возрастает, а соответственно форма парной корреляционной функции, восстановленной в рамках предлагаемой модели (которая основана на аналогиях между жидкостными и кристаллическими структурами), заметно искажается. Чтобы устра-

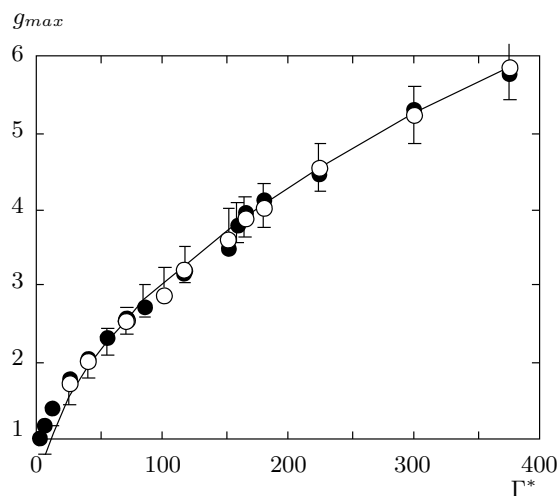


Рис. 6. Максимум g_{max} функции $g(r)$ в зависимости от Γ^* для двумерных систем: линия — результаты, полученные по формуле (6) для $\Delta = \delta_L \Gamma_c^*/\sqrt{2} \Gamma^*$; \circ — результаты, полученные по формуле (6) для σ_1 , найденного наилучшей подгонкой формы $g(r)$ кривой (2); \bullet — результаты численного моделирования

нить сингулярность при $r \rightarrow 0$ для неидеальных систем с $20 < \Gamma^*$, можно полагать $g(r) = 0$ при $r/r_p < 0.1$ (если радиус частицы меньше $0.1r_p$).

5. ЗАКЛЮЧЕНИЕ

Разработана новая полуэмпирическая модель для описания парной корреляции частиц (парной корреляционной функции $g(r)$) в сильно неидеальных системах, которая опирается на зависимость формы парной корреляционной функции $g(r)$ от величины среднеквадратичного отклонения отдельных частиц (за счет тепловых флюктуаций) от их наиболее вероятного положения в рассматриваемой системе. Предлагаемая модель качественно и количественно описывает основные особенности поведения парной корреляционной функции в кристаллических структурах, а также может использоваться для описания парной корреляции частиц в сильно неидеальных жидкостных структурах с параметром неидеальности $\Gamma^* > 20$.

В заключение еще раз подчеркнем, что информация о пространственной корреляции частиц в неидеальных системах представляет значительный интерес в различных областях науки и техники [1–3, 9]. Такая информация необходима для расчета различных термодинамических и

транспортных характеристик на основе известных соотношений статистической физики. Предлагаемая функция, описывающая парную корреляцию между взаимодействующими частицами, может легко использоваться для теоретических и численных исследований различных динамических процессов в неидеальных системах, которые сопровождаются изменением пространственной корреляции частиц (связанных, например, с воздействием внешних возмущений, распространением волн или фазовыми превращениями).

Работа выполнена при частичной финансовой поддержке РФФИ (грант № 10-08-00389) и Программы Президиума РАН.

ЛИТЕРАТУРА

1. N. K. Ailawadi, Phys. Rep. **57**, 241 (1980).
2. N. H. March and M. P. Tosi, *Introduction to Liquid State Physics*, World Sci. (1995).
3. N. H. March, *Liquid Metals: Concepts and Theory*, Cambridge Univ. Press, Cambridge (1990).
4. V. E. Fortov, O. F. Petrov, and O. S. Vaulina, Phys. Rev. Lett. **101**, 195003 (2008).
5. О. С. Ваулина, К. Г. Адамович, ЖЭТФ **133**, 1091 (2008).
6. О. С. Ваулина, К. Г. Адамович, О. Ф. Петров, В. Е. Фортов, ЖЭТФ **134**, 367 (2008).
7. O. S. Vaulina and I. E. Drangevski, Phys. Scripta T **73**, 577 (2006).
8. O. S. Vaulina, S. V. Vladimirov, O. F. Petrov, and V. E. Fortov, Phys. Plasmas **11**, 3234 (2004).
9. О. С. Ваулина, О. Ф. Петров, В. Е. Фортов, А. Г. Храпак, С. А. Храпак, *Пылевая плазма (эксперимент и теория)*, Физматлит, Москва (2009).
10. О. С. Ваулина, К. Г. Адамович, И. Е. Дранжевский, Физика плазмы **31**, 562 (2005).
11. O. S. Vaulina, X. G. Adamovich, and S. V. Vladimirov, Phys. Scripta **79**, 035501 (2009).
12. X. H. Zheng and J. C. Earnshaw, *Advances in Dusty Plasma*, ed. by P. K. Shukla, D. A. Mendis, and T. Desai, World Sci., Singapore (1997), p. 188.
13. D. Deng, A. S. Argon, and S. Yip, Phil. Trans. Roy. Soc. London A **329**, 545 (1989).